

## ساخت نانوذرات فریت نیکل روی با جانشانی مس به روش سل-ژل و بررسی ویژگی‌های ساختاری و مغناطیسی آن‌ها

محمد نیایی فر<sup>\*</sup>، هدی شلیلیان<sup>۱</sup>، احمد حسن پور<sup>۱</sup>، جمشید عمیقیان<sup>۲</sup>

۱- دانشگاه آزاد اسلامی، واحد علوم تحقیقات خوزستان، گروه فیزیک

۲- دانشگاه آزاد اسلامی، واحد نجف آباد، گروه فیزیک

(دریافت مقاله: ۹۰/۱۱/۲۷، نسخه نهایی: ۹۱/۴/۲۰)

**چکیده:** در این پژوهش نانوذرات فریت نیکل روی جانشانی شده به وسیله‌ی مس با ترکیب  $\text{Ni}_{0.3}\text{Zn}_{0.7-x}\text{Cu}_x\text{Fe}_2\text{O}_4$  (x=۰.۱-۰.۶) با استفاده از روش سل-ژل تهیه شد. ساختار بلورین نمونه‌های جانشانی شده با استفاده از پراش پرتو ایکس (XRD)، آنالیز گرمایی TG-DTA، بیناب‌سنگی فروسرخ (FT-IR) و نگاره‌های SEM و TEM انجام گرفت. ویژگی‌های مغناطیسی نمونه‌ها با استفاده از مغناطیس سنج نوسانی (VSM) اندازه‌گیری شد. بررسی منحنی پسماند مغناطیسی نشان داد که مقدار مغناطش اشباع با افزایش میزان جانشانی مس تا  $x = 0.3$  = افزایش می‌یابد و به مقدار بیشینه‌ی خود می‌رسد، سپس با افزایش بیشتر مس، افت شدیدی می‌کند. وادارندگی مغناطیسی ( $H_c$ ) با افزایش مقدار x روند صعودی داشت که این به افزایش ناهمسانگردی مغناطوبلوری یون‌های  $\text{Cu}^{2+}$  در مقایسه با یون‌های  $\text{Zn}^{2+}$  ارتباط دارد.

**واژه‌های کلیدی:** نانوذرات؛ فریت نیکل-روی با جانشانی مس؛ روش سل-ژل؛ ویژگی‌های مغناطیسی.

### مقدمه

فلزی درون پرانتر جایگاه‌های چهاروجهی (A) و کاتیون‌های (B) فریت‌های نیکل روی مس یکی از مهم‌ترین فریت‌های نرم با فرمول عمومی  $M\text{Fe}_2\text{O}_4$  هستند که M یک یون دو ظرفیتی با ترکیبی از چند یون دو ظرفیتی است که به علت اشباع مغناطش بالا و وادارندگی مغناطیسی و دمای چگالش پایین در هسته‌های ترانسفورماتورها، القاگرهای، وسایل ارتباطی، ژنراتورها و هدهای ضبط مغناطیسی مورد استفاده قرار می‌گیرند [۱]. از دیدگاه بلورشناسی این فریت‌ها دارای ساختار اسپینلی FCC هستند و فرمول ساختاری حالت پایه آن (x=۰) به صورت رابطه‌ی ۱ نمایش داده می‌شود.

فریت‌های نیکل روی مس یکی از مهم‌ترین فریت‌های نرم با فرمول عمومی  $M\text{Fe}_2\text{O}_4$  هستند که M یک یون دو ظرفیتی با ترکیبی از چند یون دو ظرفیتی است که به علت اشباع مغناطش بالا و وادارندگی مغناطیسی و دمای چگالش پایین در هسته‌های ترانسفورماتورها، القاگرهای، وسایل ارتباطی، ژنراتورها و هدهای ضبط مغناطیسی مورد استفاده قرار می‌گیرند [۱]. از دیدگاه بلورشناسی این فریت‌ها دارای ساختار اسپینلی FCC هستند و فرمول ساختاری حالت پایه آن (x=۰) به صورت رابطه‌ی ۱ نمایش داده می‌شود.

(۱)  $(\text{Zn}_{0.7}\text{Fe}_{1-y})_A [\text{Ni}_{0.3}\text{Fe}_{1+y}]_B \text{O}_4$   
که شامل ۸ واحد فرمولی از فریت نیکل روی مس است و با ۳۲ آنیون اکسیژن و ۲۴ کاتیون فلزی تشکیل می‌شود. کاتیون‌های

\* نویسنده مسئول، تلفن: ۰۶۱۱ ۴۴۵۷۱۷۴، نمبر: ۰۶۱۱ ۴۴۳۵۲۸۸، پست الکترونیکی: M.niyaifar@khozestan.srbiau.ac.ir

شرکت Diamond بررسی شد. بررسی ساختاری همه‌ی نمونه‌ها با یک پراش‌سنج پرتو ایکس ساخت شرکت SEIREFT مدل D3003 و بیناب‌سنج فروسرخ Perkin Elmer مدل LX185256 انجام شد. همچنین ریخت‌شناصی نمونه‌ها با میکروسکوپ الکترونی روبشی ساخت شرکت Philip's مدل Philip's 130x و میکروسکوپ الکترونی عبوری ساخت شرکت Philip's مدل CM120 مورد بررسی قرار گرفتند. ویژگی‌های مغناطیسی نمونه‌ها با یک مغناطیس سنج نوسانی مدل 14INCH اندازه‌گیری شد.

#### بحث و بررسی

بررسی رفتار تجزیه‌ی گرمایی ژل خشک شده نمونه‌ای از منحنی‌های TG و DTA برای ژل خشکیده در شکل ۱ نشان داده شده است. از منحنی TG سه بخش کاهش وزن، مشاهده می‌شود. گام اول کاهش وزن در بازه‌ی دمایی ۱۶۵-۵۲/۲۵ درجه‌ی سانتی‌گراد رخ می‌دهد که همراه است با قله‌ی گرمایی ۱۷۲/۱ درجه‌ی سانتی‌گراد در منحنی DTA، که این قله‌ی گرمایی از دست دادن رطوبت به صورت شیمیایی و فیزیکی در ژل خشکیده وابسته است. گام دوم کاهش وزن در بازه‌ی دمایی ۱۶۵-۲۸۵/۷۱ درجه‌ی سانتی‌گراد رخ می‌دهد که دلیل آن تجزیه نیترات‌ها در ژل خشک شده است. قله‌ی تیز گرمایی ۳۶۲/۳۲ درجه‌ی سانتی‌گراد در منحنی DTA به بلوری شدن ساختار اسپینلی فریت نیکل روی مس وابسته است. تقریباً در دمای بالاتر از ۳۶۲/۳۲ درجه‌ی سانتی‌گراد هیچ کاهش وزنی دیده نمی‌شود که نشان می‌دهد فرآیند گرمایی هنوز به طور کامل صورت نگرفته است [۱،۱۰].

#### بررسی ساختاری

شکل ۲ الگوهای پراش پرتو ایکس نانوذرات فریت نیکل روی مس با ترکیب  $Ni_{0.3}Zn_{0.7-x}Cu_xFe_2O_4$  پخته شده در دمای ۱۰۰۰ درجه‌ی سانتی‌گراد را نشان می‌دهد. شکل به روشنی نشان می‌دهد که همه‌ی نمونه‌ها دارای ساختار اسپینلی با گروه Fd-3m و مطابق با کارت استاندارد (08-0234) هستند. میانگین اندازه‌ی ریز بلورک‌ها از رابطه‌ی شر و از قله‌ی (۳۱۱) الگوی پراش پرتو ایکس محاسبه شد (جدول ۱). شکل ۲ نشان می‌دهد که با کاهش نسبت روشی، قله‌های پراش تیزتر شده و اندازه‌ی ریزبلورک‌ها رشد می‌یابد. رشد بلورک‌ها به دلیل کاهش میزان روی (Zn) نسبت به مس است. روی از

بسیاری از روش‌های ساخت همانند روش شیمیایی نرم [۶]، گرماب [۷]، سل ژل سوختنی [۸]، همرسویی [۹] و... برای ساخت این نانوذرات وجود دارد. از میان این روش‌ها در این پژوهش، روش سل- ژل به دلیل سودمندی‌هایی همانند، تولید ذرات همگن با اندازه‌ی بسیار ریز و خلوص بالا در یک زمان نسبتاً کوتاه در دمای پایین و کنترل دقیق عنصرسنجی در تولید ماده‌ی نهایی به کار گرفته شد. در این پژوهش از پلی- وینیل‌الکل به دلیل دارا بودن ویژگی‌هایی همانند قطبیت زیاد و مقاوم بودن در برابر حلال‌های آبی، به عنوان عامل پوشش- دهنده<sup>۱</sup> [۱] تمرکز می‌کنیم. در این مقاله ما نخست بر تولید نانوذرات فریت نیکل روی مس به روش سل- ژل با استفاده از ترکیب پلی وینیل‌الکل می‌پردازیم و سپس ویژگی‌های آن‌ها را بررسی خواهیم کرد.

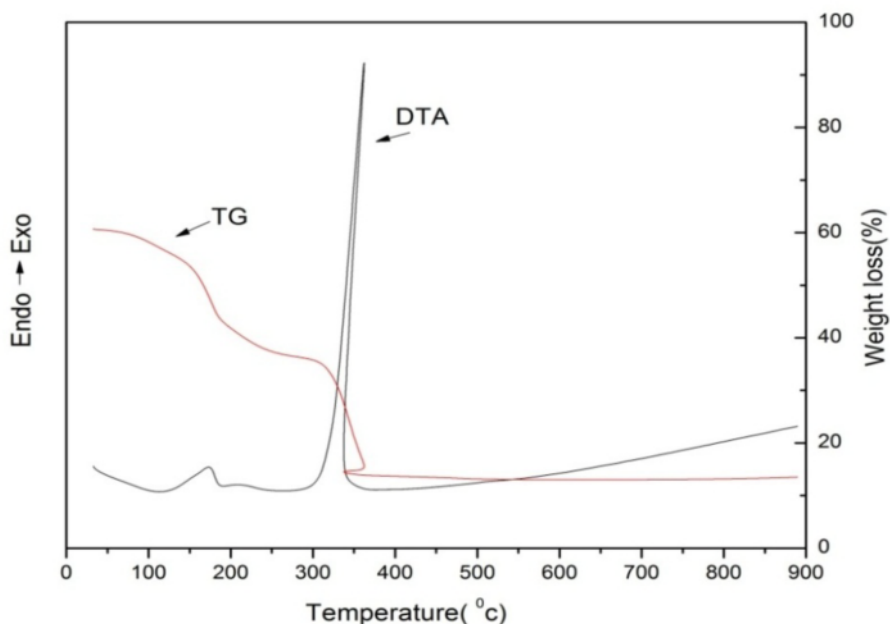
#### بخش تجربی

برای تهیه نانوذرات فریت نیکل روی مس با ترکیب  $Ni_{0.3}Zn_{0.7-x}Cu_xFe_2O_4$  با روند پلکانی ( $x = 0.1 - 0.6$ ) با نیترات‌های آبدار فلزات نیکل  $Ni(NO_3)_2 \cdot 6H_2O$ ، روی  $Zn(NO_3)_2 \cdot 6H_2O$  مس  $Cu(NO_3)_2 \cdot 3H_2O$  و آهن  $Fe(NO_3)_3 \cdot 9H_2O$  (با درجه‌ی خلوص ۹۹٪ محصول شرکت مرک)، به عنوان مواد اولیه استفاده شدند. برای تهیه ۵ گرم محصول نهایی، نخست نیترات‌های یاد شده با نسبت‌های معین عنصر سنجی وزن شده و پس از مخلوط‌سازی در ۷۰ میلی‌لیتر آب دوبار یونیده حل شدند. سپس پلی‌وینیل‌الکل به محلول آبی تهیه شده افزوده شد. نسبت مولی یون‌های فلزی به واحدهای مونومر پلی‌وینیل‌الکل یک به دو (۱:۲) انتخاب شد. محلول حاصل با همزن مغناطیسی، همزده شد. سپس با گرم کردن و تکان دادن پیوسته‌ی آن در دمای ۷۰ درجه‌ی سانتی‌گراد، پلی- وینیل‌الکل کاملاً حل شد و یک محلول شفاف قهوه‌ای رنگ به دست آمد. این محلول در دمای ۷۰ درجه‌ی سانتی‌گراد تبخیر شد تا یک سل همگن به دست آمد. آنگاه به این سل در دمای ۹۰ درجه‌ی سانتی‌گراد به مدت ۲۴ ساعت گرما داده شد تا ژل خشک شده‌ای حاصل شود. سپس فرایند گرمادهی به ژل خشکیده در دمای ۱۰۰۰ درجه‌ی سانتی‌گراد به مدت ۲ ساعت با آهنگ  $5^{\circ}C/min$  در هوا انجام شد. آنالیز گرمایی روی ژل خشک شده با استفاده از دستگاه TG-DTA ساخت

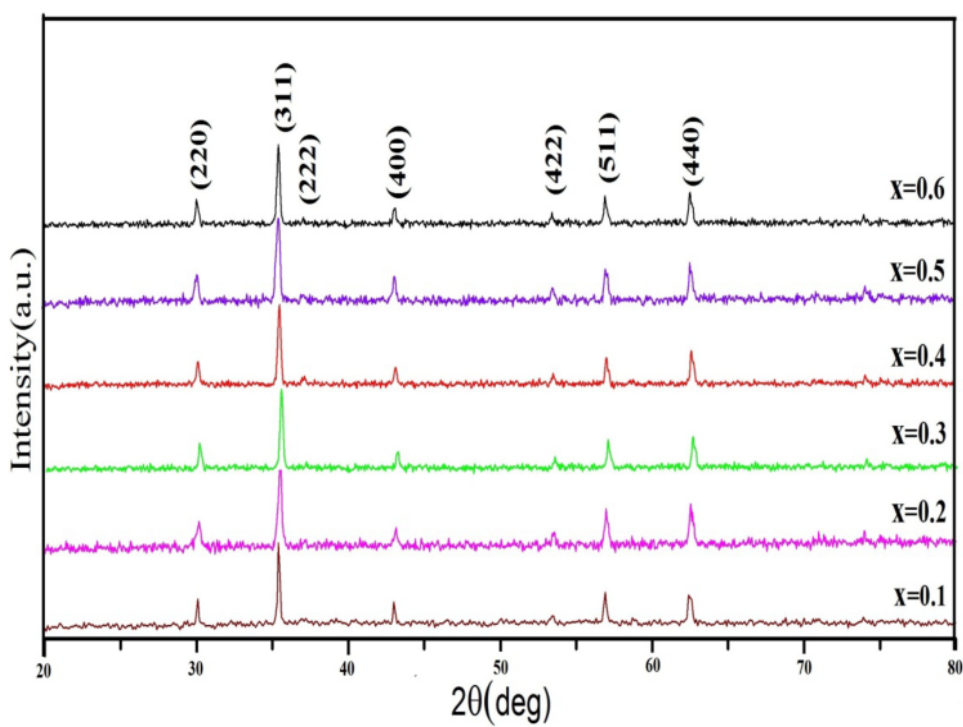
1- Chelating agent

است [۳]. ثابت شبکه با افزایش نسبت مس به صورت خطی افزایش می‌یابد که می‌توان آن را به دلیل بزرگتر بودن شعاع یونی مس ( $0.87 \text{ \AA}$ ) در مقایسه با شعاع یونی روی ( $0.74 \text{ \AA}$ ) نسبت داد [۷].

رشد دانه‌ها جلوگیری می‌کند که این را می‌توان با استفاده از تحلیل TG-DTA توجیه کرد، با توجه به تحلیل گرمایی DTA فریت نیکل روی و فریت نیکل روی مس، قله‌ی گرمایی فریت نیکل روی در مقایسه با فریت نیکل روی مس شدیدتر



شکل ۱ منحنی DTA-TG ژل خشک شده فریت نیکل روی مس در  $x=0.1$



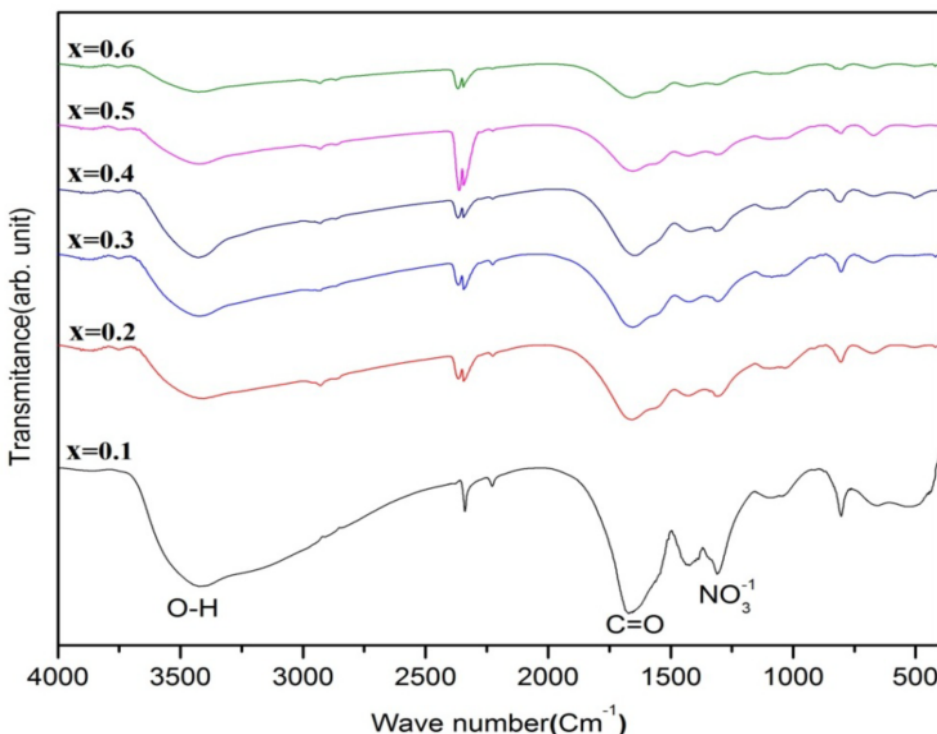
شکل ۲ پراش پرتو ایکس نانوذرات  $\text{Ni}_{0.7-x}\text{Zn}_{0.3}\text{Cu}_x\text{Fe}_2\text{O}_4$  گرما داده شده در  $1000^{\circ}\text{C}$ .

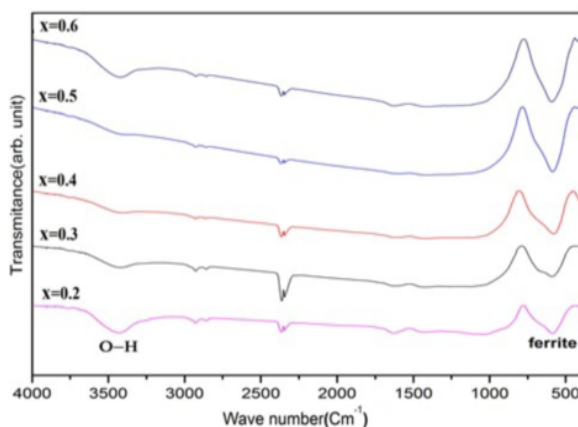
جدول ۱ ثابت شبکه، اندازه ریزبلورک‌ها و دانه‌های ذرات گرما دیده با ترکیب  $\text{Ni}_{0.3}\text{Zn}_{0.7-x}\text{Cu}_x\text{Fe}_2\text{O}_4$ 

میزان مس (x)	ثابت شبکه (Å)	اندازه ریزبلورک‌ها (nm)	اندازه ذرات (nm)
۰.۱	۸.۳۹۹	۲۱.۴۲	۸۷
۰.۲	۸.۴۰۱	۲۸.۷۵	۱۱۴
۰.۳	۸.۴۰۹	۲۹.۰۵	۱۲۰
۰.۴	۸.۴۱۴	۳۸.۷۱	۱۳۴
۰.۵	۸.۴۱۸	۳۸.۸۲	۱۴۶
۰.۶	۸.۴۲۰	۴۲.۱۲	۱۶۸

$\text{NO}_3^{-1}$  به صورت یک گروه در ساختار ژل ترکیبی وجود دارد. در بیناب‌های فروسرخ شدت‌ها برای گستره‌ی بسامدهای متناظر با گروه  $\text{O}-\text{H}$  و  $\text{NO}_3^{-1}$  کاهش بسیار شدیدی دارند که می‌توان آن را با از بین رفتن آب باقی‌مانده در ژل و تجزیه پلی‌وینیل‌الکل و  $\text{NO}_3^{-1}$  در ژل خشک شده توجیه کرد [۱۱]. نوار جدید  $571 \text{ cm}^{-1}$  مد کششی است که به عنوان نوار جذبی مشخص کننده فریت در نظر گرفته می‌شود [۱۲]. بنابراین، کاهش نوارهای مشخص شده با افزایش دمای پخت نشان‌دهنده تجزیه بیشتر مواد آلی و تشکیل نوارهای فریت ( $\text{Ni}_{0.3}\text{Zn}_{0.7-x}\text{Cu}_x\text{Fe}_2\text{O}_4$ ) است [۱۳، ۱].

تحلیل بیناب‌های بیناب سنج فروسرخ تغییرات شیمیایی و ساختاری که به هنگام پخت رخ می‌دهند با بیناب‌های فروسرخ مورد بررسی قرار گرفت. شکل‌های ۳ و ۴ نشان دهنده طیف‌های بیناب‌سنج فروسرخ ژل خشکیده و ذرات پخته شده در بازه‌ی عدد موجی  $4000-400 \text{ cm}^{-1}$  است. بیناب ژل خشکیده نشان دهنده نوارهای مشخص  $3400 \text{ cm}^{-1}$  و  $1670 \text{ cm}^{-1}$  است که به ترتیب با مدهای نوسانی کششی (Stretching mode)  $\text{O}-\text{H}$  و  $\text{NO}_3^{-1}$  هم‌خوانی دارند [۱]. ظاهر شدن نوارهای مشخص  $\text{NO}_3^{-1}$  نشان می‌دهند که به هنگام ژل شدن محلول،

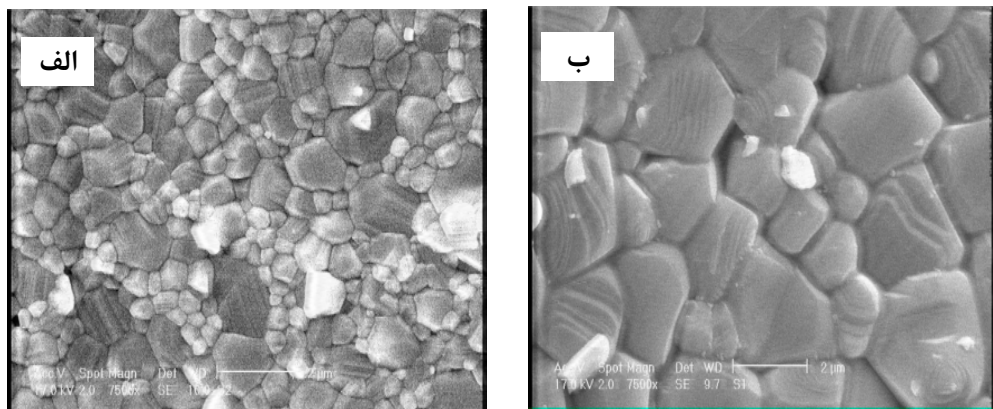
شکل ۳ طیف بیناب‌سنج فروسرخ ژل خشک شده نانوذرات  $\text{Ni}_{0.3}\text{Zn}_{0.7-x}\text{Cu}_x\text{Fe}_2\text{O}_4$ .



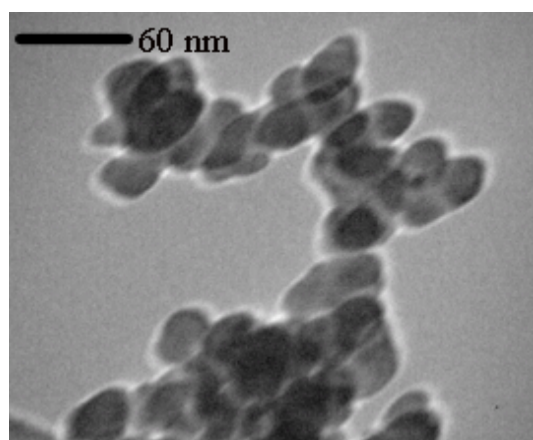
شکل ۴ طیف بینابستنگ فروسرخ نانوذرات گرمای داده شده در  $1000^{\circ}\text{C}$   $\text{Ni}_{0.3}\text{Zn}_{0.7-x}\text{Cu}_x\text{Fe}_2\text{O}_4$ .

دهند. شکل ۵ (الف و ب) در برآش با نتایج XRD نشان می-دهد که با کاهش میزان روی ذرات دیگر افزایش میابند و میانگین ذرات دیگر بین ۸۷ تا ۱۶۸ نانومتر است.

عکس میکروسکوپ الکترونی روبشی (شکل ۵) و عکس میکروسکوپ الکترونی عبوری (شکل ۶) ریختشناسی نانوذرات فریت نیکل روی مس با ترکیب  $(\text{Ni}_{0.3}\text{Zn}_{0.7-x}\text{Cu}_x\text{Fe}_2\text{O}_4)$  پخته شده در دمای  $1000^{\circ}\text{C}$  را نشان می-



شکل ۵ تصاویر SEM نانوذرات فریت نیکل روی مس با ترکیب (الف)  $x = 0.2$  و (ب)  $x = 0.6$  پخته شده در دمای  $1000^{\circ}\text{C}$ .



شکل ۶ تصویر TEM نانوذرات فریت نیکل روی مس با ترکیب  $\text{Ni}_{0.3}\text{Zn}_{0.6}\text{Cu}_{0.1}\text{Fe}_2\text{O}_4$  پخته شده در دمای  $400^{\circ}\text{C}$ .

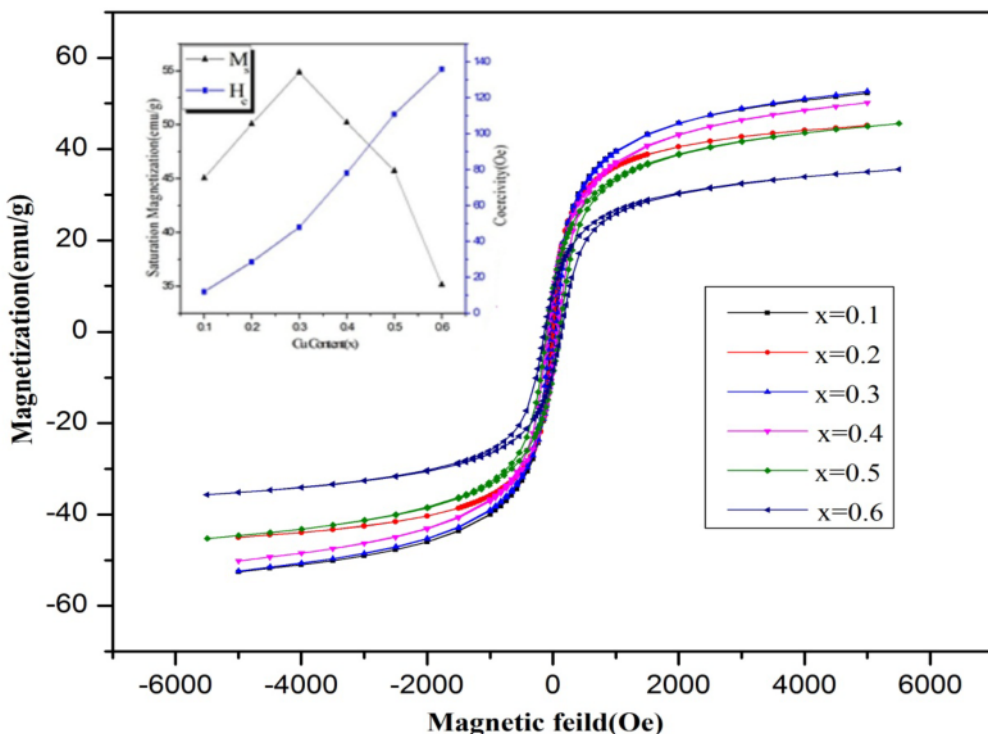
$x < 0.3$  یون‌های  $\text{Cu}^{+2}$  جانشین یون‌های  $\text{Zn}^{+2}$  در جایگاه A می‌شوند که این باعث افزایش گشتاور مغناطیسی زیرشبکه و در نتیجه کاهش مغناطش کل می‌شود. با اطلاع از گشتاور مغناطیسی یون‌ها، مقدار مغناطش کل برای نمونه‌های جانشانی شده با میزان  $0.3 - 0.1 = x$  را می‌توان از رابطه‌ی نظری (۲) محاسبه کرد.

$$M_s = \left[ \left( \underbrace{\cdot(0.6-x)}_{\text{Zn}} + \underbrace{\cdot(0.3)}_{\text{Fe}} + \underbrace{\cdot(0.1)}_{\text{Cu}} \right) \right] \mu_B - \left[ \left( \underbrace{\cdot(0.3)}_{\text{Ni}} + \underbrace{\cdot(0.1)}_{\text{Fe}} \right) \right] \mu_B \quad (2)$$

ولی همزمان، حضور یون‌های  $\text{Cu}^{+2}$  با گشتاور مغناطیسی  $1/73$  در جایگاه A به جای یون‌های  $\text{Zn}^{+2}$  باعث افزایش برهم‌کنش ابرتبدالی (Superexchange Interaction) بین جایگاه‌های A و B می‌شود که در نتیجه بر پایه‌ی نظریه‌ی نیل باعث افزایش نظم گشتاورهای مغناطیسی اتم‌ها در دو جایگاه می‌شود.

### بررسی ویژگی‌های مغناطیسی

شکل ۷ منحنی پسماند نمونه‌ها، تغییرات مغناطش اشباع و وادارندگی مغناطیسی با تغییر میزان جانشانی مس در ترکیب Neel را نشان می‌دهد. براساس نظریه‌ی فری‌مغناطیس نیل (Theory) در ساختار اسپینلی، کاتیون‌ها در زیرشبکه‌های مختلف (جایگاه‌های چهاروجهی و هشت‌وجهی) دارای گشتاورهای پادموازی هستند. با توجه به این نظریه و آگاهی از اینکه گشتاورهای مغناطیسی یون‌های  $\text{Fe}^{+3}$ ,  $\text{Cu}^{+2}$ ,  $\text{Zn}^{+2}$ ,  $\text{Ni}^{+2}$  به ترتیب  $0.3$ ,  $0.1$ ,  $0.1$  و  $0.5 \mu_B$  است [۵]، رفتار مغناطیسی نمونه‌ها را می‌توان توجیه کرد. چنانکه که در شکل ۷ دیده می‌شود، مقدار مغناطش اشباع نانوفریت‌ها با افزایش میزان جانشانی مس از  $x = 0.1$  تا  $x = 0.3$  افزایش می‌یابد و برای نمونه‌های با  $x > 0.3$  کاهش می‌یابد. بنابر گزارشات قبلی یون‌های  $\text{Cu}^{+2}$  و  $\text{Fe}^{+3}$  در هر دو جایگاه قرار می‌گیرند [۸]. از طرفی با توجه به اینکه  $\text{ZnFe}_2\text{O}_4$  نرمال اسپینل کامل و  $\text{NiFe}_2\text{O}_4$  وارون اسپینل است، می‌توان گفت یون‌های  $\text{Zn}^{+2}$  در جایگاه A و یون‌های  $\text{Ni}^{+2}$  در جایگاه B قرار دارند [۱۰]. برای نمونه‌های جانشانی شده با میزان



شکل ۷ منحنی پسماند مغناطیسی ذرات پخته شده با ترکیب  $\text{Ni}_{0.3}\text{Zn}_{0.7-x}\text{Cu}_x\text{Fe}_2\text{O}_4$  بر حسب میزان مس جانشانی شده.

مکعبی همخوانی دارد. میانگین اندازه‌ی ریزبورک‌ها با استفاده از قله‌ی (۳۱۱) الگوی پراش پرتو ایکس بین ۲۱-۴۲ نانومتر محاسبه شد. میانگین اندازه‌ی به‌دست آمده از تصاویر میکروسکوپ‌های الکترونی روبشی و عبوری با نتایج به‌دست آمده از الگوی پراش پرتو ایکس همخوانی دارد. بررسی ویژگی‌های مغناطیسی نمونه‌ها نشان می‌دهد که مقدار مغناطش اشباع با افزایش میزان جانشانی مس تا  $x = 0.3$  زیاد شده و برای میزان جانشانی  $x > 0.3$  کاهش می‌یابد. رفتار مغناطیسی نمونه‌ها به اثرهای مغناطش کل ناشی از توزیع کاتیونی و برهمنش ابرتبدالی نسبت داده شده است. همچنین، با افزایش میزان جانشانی مس و ادارندگی مغناطیسی ( $H_c$ ) به طور خطی افزایش می‌یابد.

#### مراجع

- [1] Sh.Yan, J.Yin, E. Zhou, "Study on the synthesis of Ni Zn Cu ferrite nanoparticles by PVA sol-gel method and their magnetic properties", Journal of alloys and compounds 450.(2008)417-420.
- [2] J. Subrt, J. Slama, E. Usak, A. Gruskova, V. Jancarik, R. Dosoudil, J. Lukac, M. Usakova, "Influence of  $Cu^{2+}$  ions on structural and magnetic properties of Ni Zn ferrites", Journal of Material Electron 18.(2007)1183-1189.
- [3] M.A.Gabal, "Magnetic properties of Ni Cu Zn ferrite nanoparticles synthesized using egg-white", Journal of Material research Bulletin 45.(2010)589-593.
- [4] J. Xiang, X. Shen, F. Song, M. Liu, "One-dimensional Ni Cu Zn ferrite nanostructures: Fabrication, structure, and magnetic properties", Journal of Solid State Chemistry 183. (2010)1239-1244.
- [5] B.K. Chougule, P.A. Jadhav, R.S. Devan, Y.D. Kolekar, "Structural, electrical and magnetic characterizations of Ni-Cu-Zn ferrite synthesized by citrate precursor method", Journal of Physics and Chemistry of solids 70.(2009)396-400.
- [6] S.k. Date, J.J. Shorti, S.D. Kulkarni, C.E. Deshpande, A. Mitra, S.R. Sainkar, P.S. Anil Kumar, "effect of cu substitution on the magnetic and electrical properties of Ni-Zn ferrite synthesized by soft chemical method", Journal of materials chemistry and physics 59. (1999)1-5.

افزایش مغناطش مشاهده شده در نمونه‌های جانشانی شده با میزان  $0.3 \leq x$  را می‌توان به چیرگی اثر افزایش برهمنش ابرتبدالی به اثر کاهش مغناطش کل نسبت داد. افزایش میزان جانشانی مس بیش از  $0.3$  باعث جانشانی یون‌های  $Cu^{2+}$  در جایگاه هشت وجهی به جای یون‌های  $Fe^{3+}$  در این جایگاه می‌شود. بدین ترتیب یون‌های آهن جانشین یون‌های  $Zn^{2+}$  در جایگاه چهاروجهی می‌شوند، که باعث کاهش مغناطش کل می‌شود. کاهش مشاهده شده در مغناطش اشباع نمونه‌های جانشانی شده با میزان  $x > 0.3$  را می‌توان به اثر حضور یون‌های آهن نسبت داد. بر مبنای توزیع کاتیونی فوق، مقدار مغناطش کل برای نمونه‌های  $x > 0.3$  را می‌توان از رابطه نظری (۳) به‌دست آورد [۱۶].

$$M_s = \left[ \overbrace{\left( \cdot(0.6-x) + 5(0.3+x) \right)}^{\text{Zn}} \right] \mu_B - \left[ \overbrace{\left( 2/3(0.3) + 5(1/7-x) + 1/73(x) \right)}^{\text{Fe}} \right] \mu_B - \left[ \overbrace{\left( 0 \right)}^{\text{Cu}} \right] \mu_B \quad (3)$$

با افزایش میزان جانشانی مس، و ادارندگی مغناطیسی نانوذرات فریت نیکل روی مس افزایش می‌یابد. می‌دانیم یون‌های  $Cu^{2+}$  دارای ناهمسانگردی مغناطوبلوری  $^2$  بیشتری نسبت به یون‌های  $Zn^{2+}$  هستند [۱۵]. از سوی دیگر با توجه به اینکه ذرات دیگر بیش از ۸۰ نانومتر است و همهی نمونه‌ها در منطقه‌ی چند حوزه‌ای قرار دارند [۱۶]، انتظار می‌رود که با افزایش ذرات دیگر شاهد کاهش و ادارندگی باشیم اما نتایج خلاف این را نشان می‌دهند. بنابراین افزایش و ادارندگی را می‌توان به غلبه اثر افزایشی ناهمسانگردی یون‌های  $(Cu^{2+})$  بر اثر افزایشی اندازه نسبت داد.

#### برداشت

ذرات فریت نیکل روی مس در اندازه‌ی نانو با استفاده از پلی-وینیل‌الکل به روش سل-زل تولید شدند و ویژگی‌های ساختاری و مغناطیسی آن‌ها مورد بررسی قرار گرفتند. الگوی پراش پرتو ایکس نمونه‌های تهیه شده با ساختار اسپینلی

- [12] E. Zhou, Sh.Yan, J. Geng, Li. Yin, "Preparation of nanocrystalline Ni Zn Cu ferrite particles by sol-gel method and magnetic properties", Journal of magnetism and magnetic Materials 277.(2004)84- 89.
- [13] Z. Yue, L. Li, J. zhou, H. Zhang, Z. Gui, "Preparation and characterization of Ni Cu Zn ferrite nanocrystalline powders by auto-combustion of nitrate-citrate gels", Journal of materials science and Engineering B64.(1999) 68-72.
- [14] E. Usak, J. Slama, A. Gruskova, M. Usakova, R. Dosoudil, "Contribution to analysis of Cu-substituted NiZn ferrite", Journal of magnetism and magnetic Materials 321. (2009)3346-3351.
- [15] M. Mozaffari, M. Eghbali Arani, J. Amighian, "The effect of cation distribution on magnetization of  $ZnFe_2O_4$  nanoparticles", Journal of Magnetism and Magnetic Materials, 322. (2010)3240-3244.
- [16] Yu. Liming, Sh. Cao, Y. Liu, J. Wang, Ch. Jing, J. Zhang, "Thermal and Structural analysis on the nanocrystalline Ni Cu Zn ferrite synthesis in different atmospheres", Journal of magnetism and magnetic Materials 301. (2006)100-106.
- [7] H. Wen wang, Sh.chung kung, "Crystallization of nanosized Ni Zn Cu ferrite powders prepared by hydrothermal method", Journal of magnetism and magnetic materials 270.(2004)230-236.
- [8] J. Bera, P.k. Roy, "Characterization of nanocrystalline NiZnCu ferrite powders synthesized by sol-gel auto combustion method", Journal of materials processing technology197.(2008)279-283.
- [9] W. Chih Hsu, S.C. Chen, P.C. Kuo, C.T. Lie, W.S. Tsal, "Preparation of Ni Cu Zn ferrite nanoparticles from chemical co-precipitation method and magnetic properties after sintering", Journal of materials science and Engineering B111.(2004)142-149.
- [۱۰] فراست م., گلزاران س.م., حسن‌زاده ع., "تهیهٔ نانوذرات نقره بر پایهٔ سل-زل و مطالعهٔ ویژگی‌های فیزیکی و ساختاری آن", مجله بلورشناسی و کانی‌شناسی ایران، سال نوزدهم شماره ۲ (۱۳۹۰) ص ۴۷-۵۰.
- [11] S. zahi, M. hashim, A.R. Duad , "Preparation of Ni Zn Cu Ferrite particles by sol-gel technique", Journal of material letters60. (2006) 2803-2806.